

La production des neutrons

C.J. Carlile

Institut Laue Langevin, 38000 Grenoble, France

I- PRODUCTION DE NEUTRONS A PARTIR DE SOURCES RADIOACTIVES NATURELLES

I.1- par réaction (α,n)

I.2- par réaction (γ,n)

I.3- Fission

II- SOURCES A ACCELERATEUR DE PARTICULES

II.1 - Fusion (D,T)

II.2- Rayonnement de freinage (Bremsstrahlung) à partir d' accélérateurs d' électrons

II.3- Epluchage (spallation) par des protons de forte énergie

III- SOURCES MODERNES DE NEUTRONS

III.1- La quête d'intensités plus élevées

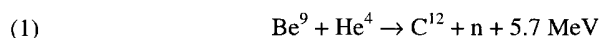
III.2- ISIS au Laboratoire Rutherford Appleton

III. 3- Le Réacteur à Haut Flux de l'Institut Laue Langevin

I- PRODUCTION DE NEUTRONS A PARTIR DE SOURCES RADIOACTIVES NATURELLES

I.1- par réaction (α,n)

Le processus de fission spontanée est le seul moyen de fournir directement des neutrons. A part cela, il n'y a pas de sources naturelles de neutrons. Cependant, la réaction (α,n) grâce à laquelle Chadwick fut le premier à isoler et identifier le neutron en 1932 en est la plus proche. Dans certains isotopes légers le 'dernier' neutron du noyau est faiblement lié et est relâché lors de la décroissance radioactive du noyau composé qui s'est formé à la suite du bombardement par une particule- α . Chadwick a utilisé le polonium-210 émetteur α naturel lors de sa décroissance en plomb-206 avec émission d'une particule- α de 5.3 MeV. Le bombardement du béryllium par des particules- α (Fig. 1) provoque la production de neutrons par la réaction exothermique suivante :



Cette réaction donne naissance à une source de neutrons peu intense avec un spectre d'énergie ressemblant à celui d'une source à fission, elle est employée aujourd'hui dans les sources portables de neutrons du type de celles couramment utilisées pour tester les détecteurs à neutrons. Normalement c'est du radium ou de l'américium qui est utilisé comme émetteur- α dans les dispositifs typiques représentés ci-dessous (Fig. 1 et 2).

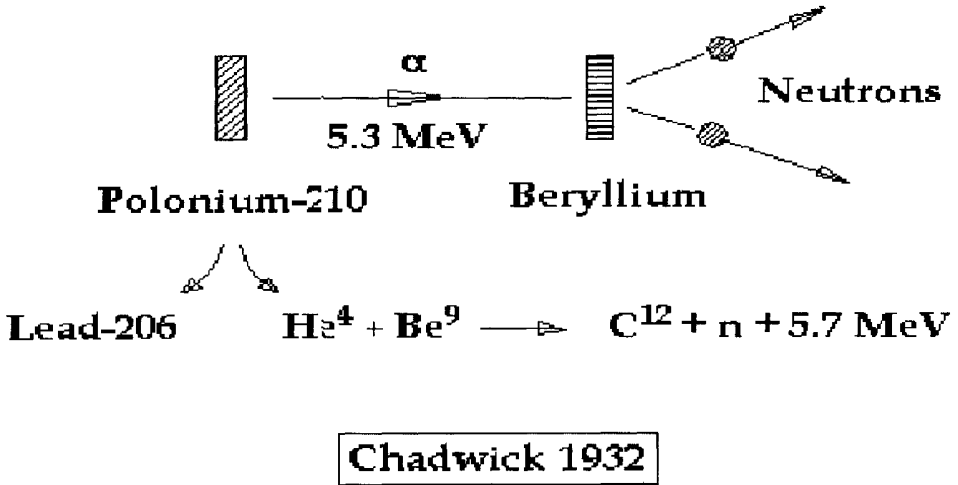


Figure 1 : Principe d'une source de neutrons d'après la réaction (1)

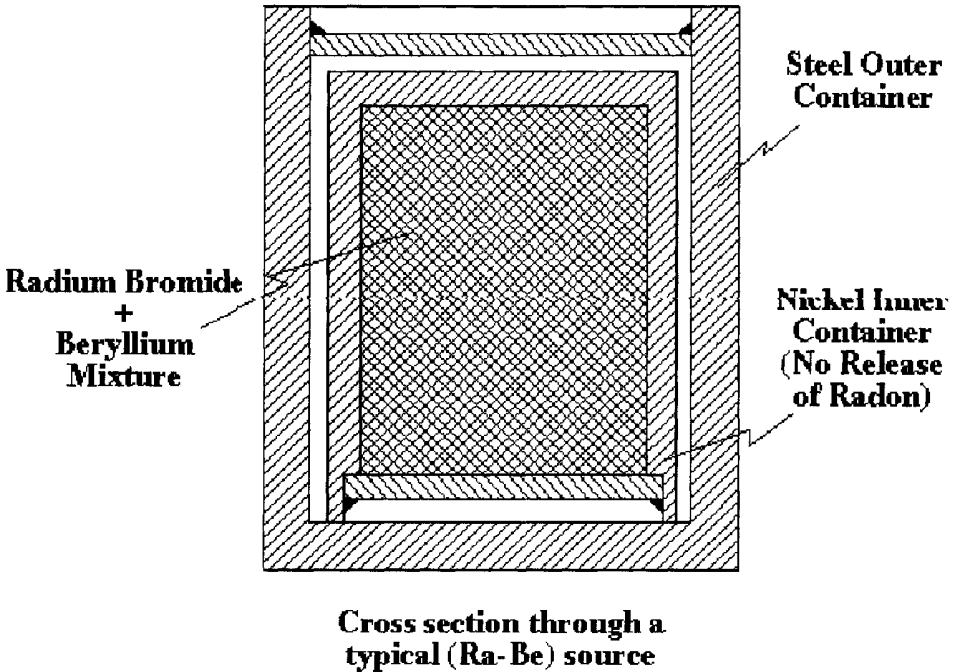


Figure 2 : Source de neutrons d'après la réaction (1)

I.2- par réaction (γ,n)

On peut aussi utiliser des sources (γ,n) dans le même but. Dans ce type de source, à cause de la gamme plus importante de rayons γ , on peut séparer les deux composantes ce qui rend possible, si nécessaire, d'interrompre la réaction en éloignant la source radioactive hors du béryllium. La source illustrée ci-dessous (Fig.3) emploie de l'antimoine-124 comme émetteur- γ dans la réaction endothermique suivante :

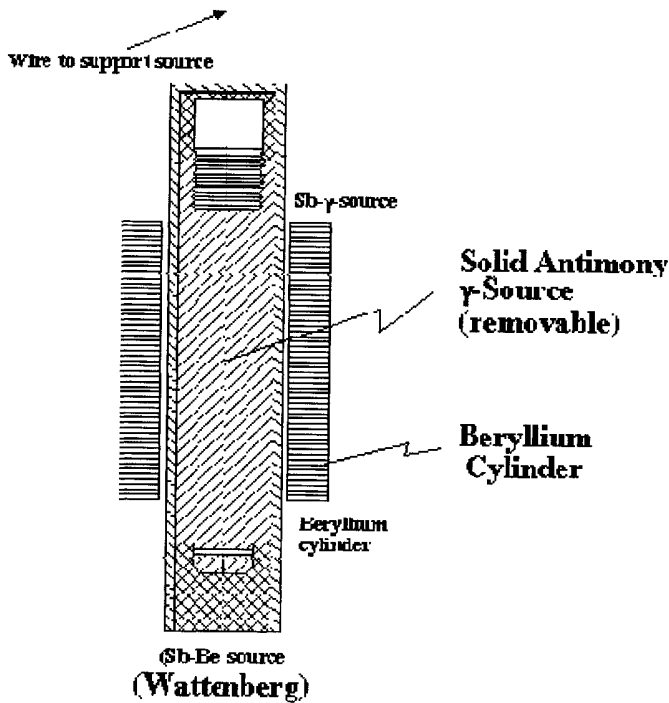
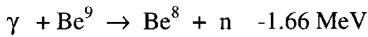
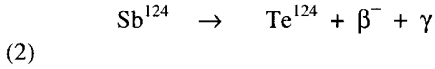


Figure 3 : Source de neutrons d'après la réaction (2)

I.3- Fission

L'uranium-235 qui existe au taux de 0.7 % dans l'uranium naturel subit le processus de fission avec production de neutrons thermiques correspondant en moyenne à 2.5 neutrons rapides et fourniture d'une énergie de 180 MeV par fission (Fig. 4).

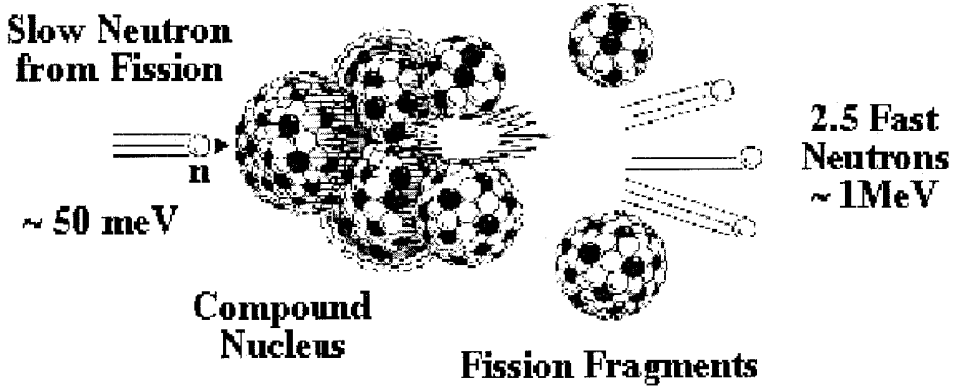
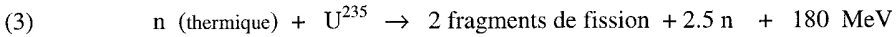


Figure 4 : Source de neutrons d'après une réaction de fission (3).

Dans un assemblage critique, la réaction de fission devient auto-entretenu (3) quand il y a un neutron utilisé pour provoquer une fission ultérieure, 0,5 neutron absorbé par d'autres matériaux et un neutron capable de quitter la surface du cœur nucléaire et disponible pour être utilisé.



Si l'on prend pour exemple un réacteur nucléaire de 20 MW qui fournit $2 * 10^7$ Joules/s, soit $1.7 * 10^{18}$ neutrons/s qui se trouvent relâchés dans l'ensemble du volume du réacteur. Le spectre d'énergie de la source qui en résulte est montré schématiquement ci-dessous :

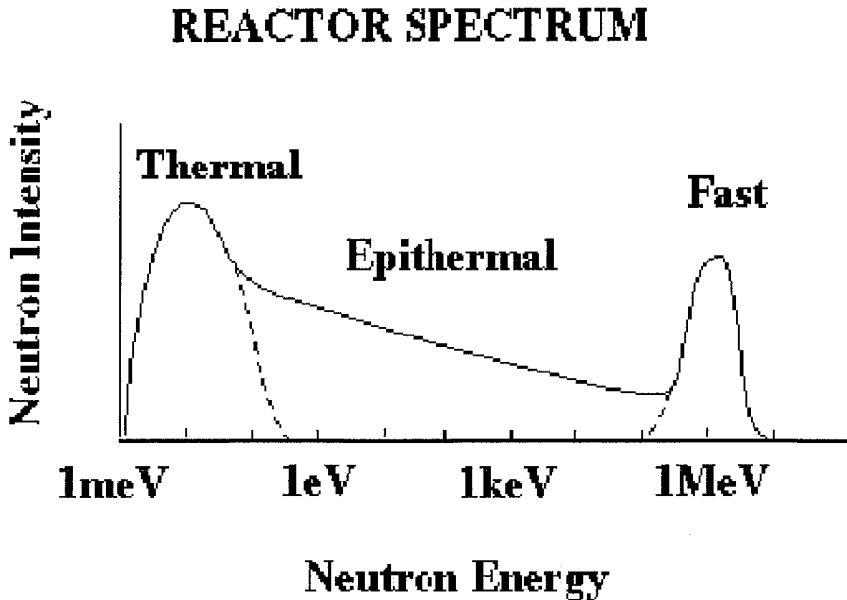


Figure 4 : Allure du spectre de neutrons émis par un processus de fission.

Le spectre se compose de trois régions distinctes :

La première est la **région des neutrons rapides** où sont produits les neutrons. On la représente comme une distribution de Lamb avec un pic d'intensité compris entre 1 et 2 MeV et qu'on peut décrire mathématiquement par l'expression (4) :

$$(4) \quad \Phi(E) dE = \Phi_f \exp(-E \sinh(2E))^{1/2} dE \quad 0.5 \text{ MeV} \leq E$$

La région intermédiaire est connue comme étant la **région de ralentissement ou région épithermique**, elle se caractérise par une distribution en intensité en $1/E$ (5). Donc

$$(5) \quad \Phi(E) dE = (\Phi_{\text{epi}} / E) dE \quad 200 \text{ meV} < E < 0.5$$

décrit le spectre dans cette région où les neutrons perdent de l'énergie par suite du processus de modération.

Aux faibles énergies le spectre de neutrons tend vers l'équilibre thermodynamique avec le modérateur car les neutrons soit perdent, soit gagnent de l'énergie lors des collisions avec les noyaux dans le modérateur. Le spectre résultant se décrit par une distribution de Maxwell-Boltzmann avec une température effective T_n (6) plus élevée d'environ 30 K que la température physique du réacteur, car un équilibre total ne peut jamais être atteint dans un modérateur de taille finie.

$$(6) \quad \Phi(E) dE = \Phi_{\text{th}} (E/kT_n) \exp(-E/kT_n) dE \quad E < 200 \text{ meV}$$

La distribution Maxwellienne a un maximum d'intensité pour une énergie d'environ 25 meV pour un modérateur opérant à température ambiante.

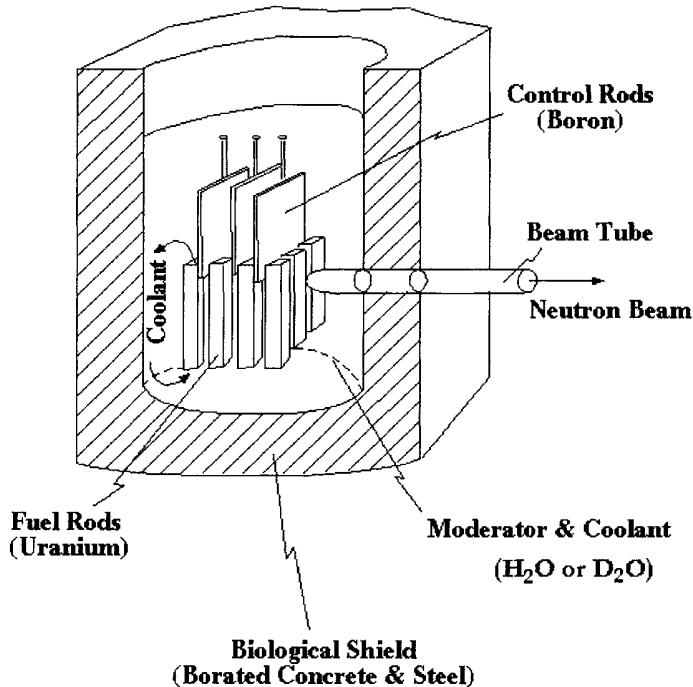


Figure 5 : Représentation stylisée des composants de base d'un réacteur de recherche, un 'réacteur piscine'.

L'uranium combustible est contenu dans un certain nombre de tiges de combustibles (il n'y en a qu'une seule à l'ILL) et la réaction critique est contrôlée par des tiges de contrôle absorbant les neutrons (normalement chargées en bore). Le modérateur, qui peut être soit H₂O soit D₂O suivant l'enrichissement du combustible, est aussi souvent utilisé comme fluide réfrigérant du réacteur. Le réacteur est entouré par un écran aux radiations massif, formé par d'acier et de béton chargé en bore (Fig. 5).

Tableau 1 Comparaison des flux de particules dans un réacteur à U_{nat} + D₂O et un réacteur à U_{enrichi} + H₂O

	Flux Thermique Φ_{th} n / cm ² / s.	Flux Epithermique $\Phi_{épi}$ n / cm ² / s.	Flux Rapide Φ_{th} n / cm ² / s.	Flux Gamma γ / cm ² / s.
Uranium naturel + D ₂ O	6.10 ¹³	2.10 ¹²	4.10 ¹²	2.10 ¹²
Uranium enrichi + H ₂ O	2.10 ¹⁴	2.10 ¹³	2.10 ¹⁴	1.10 ¹³

Il est clair que, bien que la puissance des deux réacteurs soit la même (1.5 10¹⁸ n/s), le flux est considérablement plus élevé dans le cas uranium enrichi /H₂O. Ceci provient tout simplement du fait que le cœur est plus petit et qu'en conséquence la densité de puissance est plus élevée. Mais le fonctionnement d'un réacteur employant de l'uranium enrichi comme combustible pose des problèmes spécifiques du point de vue politique et sécurité.

Le principal objectif lors de la conception d'un réacteur à faisceau de neutrons est de produire le flux de neutron maximal à l'énergie nécessaire pour l'instrument diffusant les neutrons. En conséquence, les tubes de faisceaux de neutrons sont localisés dans la région d'intensité maximale qui peut être conçue pour se situer en dehors du cœur du réacteur.

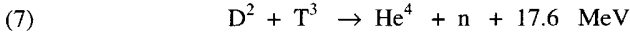
Ceci s'obtient en 'sous-modérant' le cœur qui fournit une forte distribution de neutrons rapides dans le réflecteur environnant où le processus de modération porte le flux thermique à son maximum. Ceci peut aussi s'obtenir pour d'autres énergies des neutrons en insérant localement des blocs de matériaux modérateurs à des températures plus basses ou plus élevées, ceci est particulièrement net dans le cas des sources froides à hydrogène (deutérium) liquide. On montre dans l'illustration ci-dessous la distribution des guides des faisceaux de neutrons ainsi que les divers composantes du spectre des neutrons pour ce qui concerne le réacteur à haut flux de l'Institut Laue Langevin à Grenoble.

II- SOURCES A ACCELERATEUR DE PARTICULES

Les neutrons peuvent être libérés en bombardant une cible avec des particules de forte énergie produites par un accélérateur. Suivant le type d'accélérateur les neutrons seront produits de façon continue ou par bouffées. Un certain nombre de réactions typiques ont été utilisées dont voici les plus typiques :

II. 1- Fusion (D,T)

Les neutrons sont produits par fusion de deutérium et de tritium dans la réaction exothermique suivante :



Les neutrons sont produits avec une énergie cinétique de 14.1 MeV. Ceci peut aussi s'obtenir à petite échelle au laboratoire avec un modeste accélérateur de 100 kV accélérant des atomes de deutérium qui bombardent une cible de tritium (Fig.6). On produit du deutérium monoatomique ou naissant en épiluchant un gaz de D_2 passant à travers un tube de palladium chauffé. Les ions de D^+ accélérés bombardent une cible de titane ou de zirconium chargée en tritium sous forme d'hydruure TiT_2 ou ZrT_2 ainsi que le montre le diagramme. Avant que l'échauffement de la cible ne devienne un problème, on peut obtenir relativement simplement des sources de neutron continues d'environ 10^{11} neutrons /s. Ce type de source de neutrons s'emploie souvent au laboratoire pour simuler des expérience en physique des réacteurs, par exemple pour mesurer la thermalisation des neutrons dans le graphite.

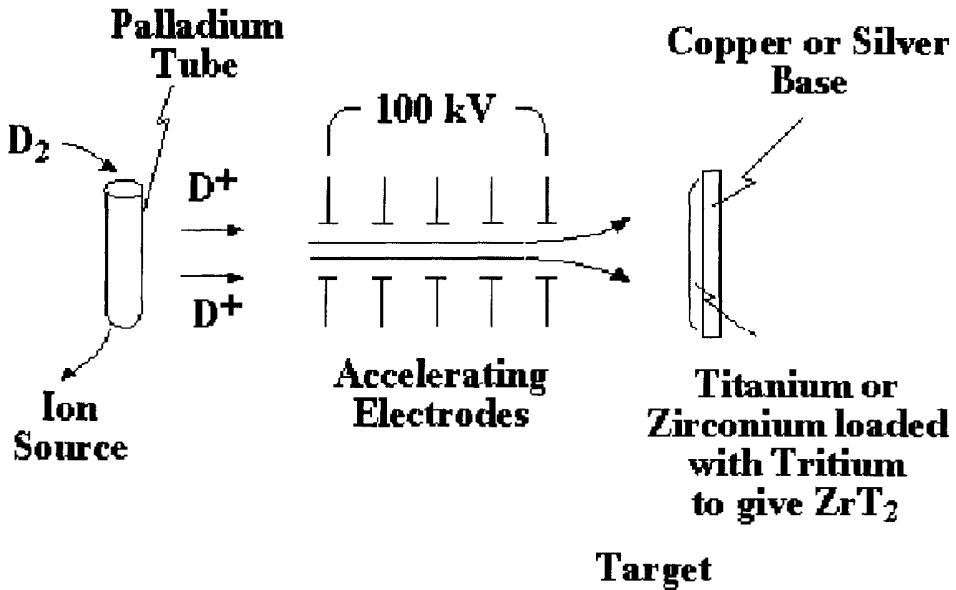


Figure 6 : Source de neutrons par fusion deutérium+ tritium

Notons que cette réaction est la même que celle qui est utilisée pour le développement des réacteurs de fusion thermonucléaire. Dans ce cas l'énergie nécessaire pour initier la combinaison des atomes de deutérium et de tritium est obtenue à partir de la température élevée qui est exigée du plasma.

II . 2- Rayonnement de freinage (Bremsstrahlung) à partir d' accélérateurs d'électrons

Lorsqu'ils sont rapidement ralentis dans une cible d'éléments lourds des électrons très énergétiques émettent une radiation- γ intense durant le processus de décélération. Ceci est

Le processus de spallation (Fig. 8) est une réaction nucléaire commune qui se produit lorsque des particules de forte énergie bombardent des atomes lourds.

La réaction se produit pour des énergies des particules incidentes supérieures à une énergie seuil, qui est typiquement compris entre 5 et 15 MeV. La réaction est une réaction séquentielle comportant l'incorporation de la particule incidente (disons un proton) par le noyau cible, suivie par une cascade interne entre nucléons, une cascade internucléaire où sont éjectés des neutrons de forte énergie, et un processus d'évaporation où les noyaux cibles se désexcitent par émission de plusieurs neutrons de faible énergie et toute une variété de nucléons, photons et neutrinos. La réaction est multiforme et implique en général plusieurs noyaux cibles différents. Elle est souvent comparée à un boulet de canon se déplaçant à travers un bateau en bois.

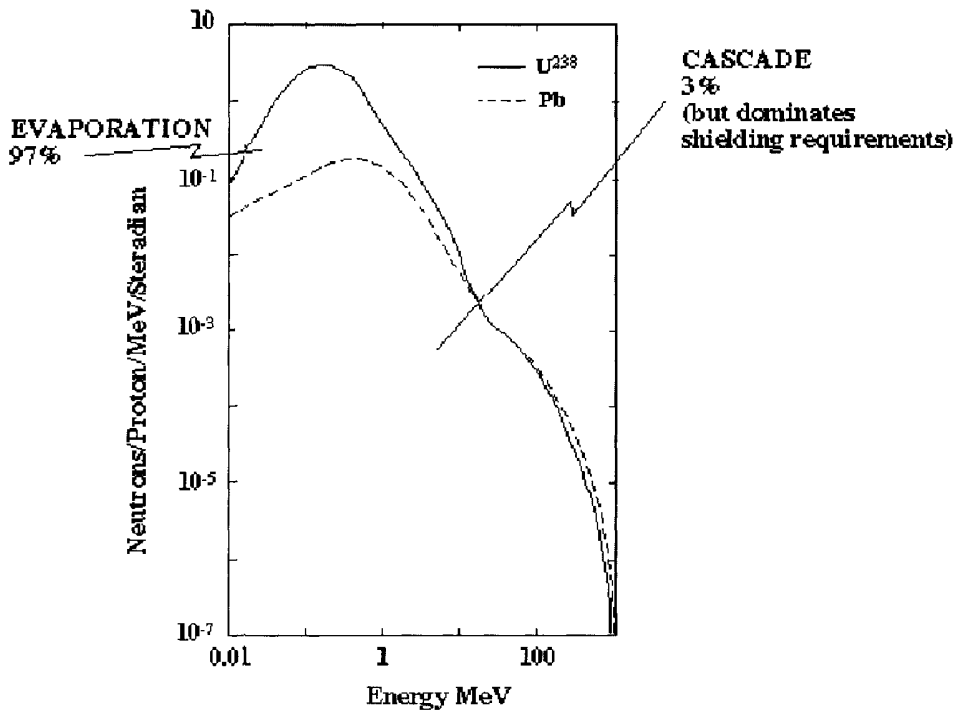


Figure 8 : Neutrons produits par épluchage grâce à des protons

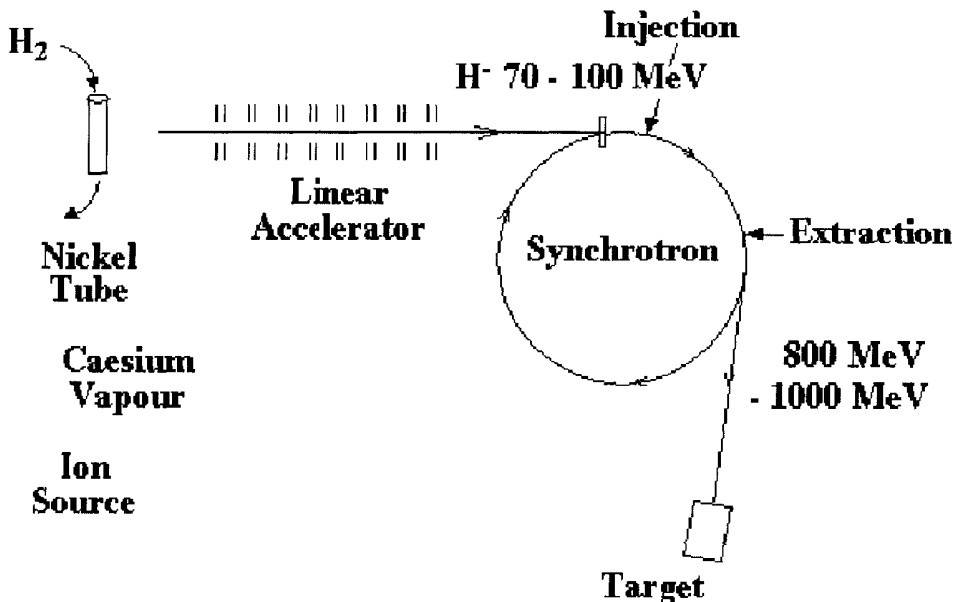
Dans une réaction de spallation on peut générer typiquement 30 neutrons par particule incidente. L'énergie libérée par neutron produit est plutôt faible étant d'environ 55 MeV. On peut accroître de façon significative l'intensité de la source de neutrons en utilisant une cible fissile, normalement c'est de l'uranium appauvri. On présente ci-dessus le spectre source d'une réaction de spallation par des protons de 800 MeV sur une cible de plomb et une cible d'uranium-238.

Le processus de cascade compte pour seulement ~ 3 % comme source de neutrons, mais comme ceux qu'il fournit ont une énergie allant jusqu'à celle des protons incidents c'est la

présence de ces neutrons qui domine dans les exigences de blindage de la source. Par comparaison on montre à plus petite échelle le spectre source d'un réacteur à fission.

En pratique une source à spallation est généralement réalisée avec des protons accélérés. On peut les produire de différentes façons, par exemple :

1. Des accélérateurs linéaires tels que LAMPF à Los Alamos qui sont des accélérateurs à courant élevé, avec des cycles de forte puissance d'où résultent soit des impulsions longues soit de fréquences trop élevées pour être effectivement utilisées avec des instruments à diffusion de neutrons. En conséquence, il est nécessaire d'avoir des anneaux de stockage qui compriment les longues impulsions.
2. Des cyclotrons tels que SINQ en Suisse, ils produisent un faisceau continu de neutrons via le processus de spallation, et
3. Des synchrotrons tels que ISIS au Royaume Uni. Jusqu'à des temps relativement récents les synchrotrons ont opérés avec des courants de faible intensité et implémentation de techniques de cycles rapides et des aimants à faible focalisation. On peut produire des impulsions étroites ($< 1 \mu\text{s}$) par suite de la méthode d'extraction d'un faisceau de protons ayant fait un seul tour, avec un cycle de travail modeste (50 Hz) qui est bien adapté à l'instrumentation en diffusion de neutrons. Le diagramme ci-dessous présente schématiquement un ensemble typique d'une source de neutrons de spallation pulsés basée sur un synchrotron. On réalise une injection multi-tours dans le synchrotron en employant des accélérateurs linéaires plus modestes pour des ions négatifs H^- . Au point d'injection le faisceau passe à travers une fine feuille qui arrache les électrons, par exemple de l'alumine, les protons résultants entrent alors dans le synchrotron pour une accélération ultérieure. De cette manière on peut réaliser une source de neutrons pulsés d'intensité $\sim 5 \cdot 10^{16}$ neutrons/s.



III-SOURCES MODERNES DE NEUTRONS

III.1- La quête d'intensités plus élevées

Les techniques de diffusion des neutrons souffrent de faibles acquisitions de données en particulier par comparaison avec la diffraction des rayons X ou la spectroscopie infra-rouge. En conséquence il a été focalisé beaucoup d'efforts sur l'amélioration de l'intensité disponible des sources de neutrons. Dans le diagramme ci-dessous, au départ dû à Carpenter, on a porté de façon chronologique le flux effectif de neutrons thermiques de diverses sources de neutrons. Les positions précises des divers points sur le graphique et l'emploi du flux moyen pour les sources continues et du flux du pic pour les sources pulsées a été et est encore un sujet de débat, sans même faire mention de la multitude d'hypothèses qui posent question et qui sont faites lorsqu'on compare de tels équipements en utilisant une seule variable seulement.

Néanmoins les tendances visibles sont claires et très clairement les réacteurs à fission, qui se sont améliorés rapidement dans les cinq années suivant le succès du premier assemblage critique en 1942, ont atteint lentement par croissance une quasi asymptote autour de $2 \cdot 10^{15}$ n/cm².s. Des avancées techniques de l'instrumentation dans les réacteurs, par exemple les guides de neutrons, les monochromateurs focalisant et les détecteurs de grande surface ont toutefois assuré une croissance continue dans la vitesse d'acquisition des données. D'un autre côté les sources pulsées n'ont pas encore atteint la saturation du flux de la source et beaucoup de potentialités restent à réaliser avec cette source de neutron avant d'approcher ses limites. On vient de réaliser une étude de faisabilité pour une Source à Spallation Européenne de 5 MW qui promet des flux 30 fois supérieurs à ceux d'ISIS. Le plan de réalisation est donné page suivante.

REACTIONS PRODUISANT DES NEUTRONS

Processus	Exemple	Production en neutrons	Energie relâchée MeV / neutron
1. Réaction α, n	Source de laboratoire Radium-Béryllium	$8 \cdot 10^5 / \alpha$	660 000
2. Fusion D,T	Deutérons de 400 keV sur une source de Ti chargée en tritium	$4 \cdot 10^5 / \text{deutéron}$	10 000
3. Bremsstrahlung Électron and photofission	Electrons de 100 MeV sur uranium	$5 \cdot 10^2 / \text{électron}$	2 000
4. Fission	(n,fission) de U ²³⁵ dans un réacteur nucléaire	1 / fission	180
5. Spallation	Protons de 800 MeV sur de l'uranium	30 / proton	55
6. Fusion D,T	Fusion Laser dans un réacteur thermonucléaire contrôlé	1 / fusion	18

Un facteur limitatif important pour déterminer la fourniture maximale de neutrons par une source d'un type particulier est la vitesse à laquelle on peut évacuer la chaleur déposée dans la cible par la réaction nucléaire. La table ci-dessus indique quelle est la chaleur dégagée par neutron disponible dans les diverses réactions discutées précédemment. La source à spallation relâche 3 fois moins d'énergie que la fission qui à son tour redonne 10 fois moins d'énergie que les réactions photo-neutroniques (bremsstrahlung). Les réacteurs à fusion nucléaire contrôlée offre une promesse future de neutrons avec une libération d'énergie encore plus faible.

Si de plus la réaction générant la réaction est de nature pulsée la chaleur déposée dans la cible peut être notablement réduite (peut être par un facteur 100) en comparaison avec une source continue de même type. Pourvu que le pic de flux de la source pulsée puisse être utilisé pendant une forte proportion du temps total on peut obtenir un gain substantiel sans décroissance dans la prise des données sur l'instrument diffusant les neutrons. En conséquence pour la même vitesse de déposition de chaleur dans la cible la source pulsée pourra en général atteindre un taux de comptage beaucoup plus élevé que la source continue.

III.2- ISIS au Laboratoire Rutherford Appleton

Le diagramme ci-dessous présente une vue cavalière de ISIS la source pulsée de neutrons au Royaume Uni. Elle comprend une série d'accélérateurs qui produisent un faisceau pulsé intense de protons de 800 MeV qui tombent sur une cible de tantale, produisant des neutrons rapides par le processus de spallation.

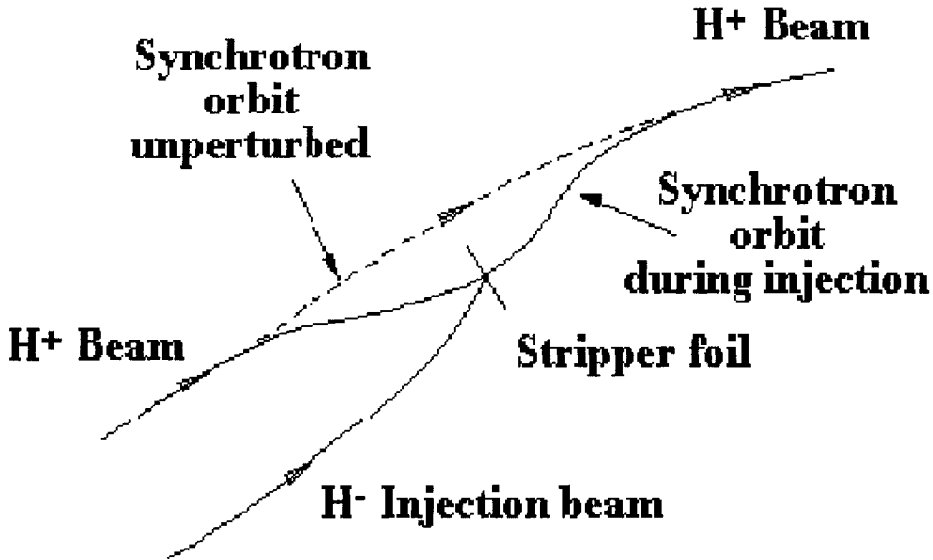
Par commodité nous pouvons diviser l'ensemble afin de le décrire.

1. Un **pré-injecteur** qui est un générateur haute tension du type Cockroft-Walton à diviseur de potentiel. Il produit des tensions pulsées de 665 keV à 50 Hz et fournit un courant de 40 mA dans des bouffées de 500 μ s à ...

2. Une **source d'ions H⁻**. La source d'ions fournit des ions hydrogène négatifs H⁻ dans un plasma de vapeur de césium, elle est alimentée avec des atomes d'hydrogène générés par passage d'hydrogène gazeux à travers un tube de nickel chauffé. Les ions H⁻ portés au potentiel 665 keV du pré-injecteur sont canalisés vers le premier élément de

3. Un **injecteur** qui est un **accélérateur linéaire (Linac)** de type Alvarez consistant en une série de discontinuités de potentiel de longueurs croissantes en fonction du gain en énergie des ions H⁻. Le Linac accélère les ions H⁻ jusqu'à 70 MeV en produisant un courant de 20 mA en bouffées de 500 μ s chaque 20 ms (i.e. à 50 Hz). Le faisceau d'ions H⁻ entre dans le synchrotron via

4. Un **segment droit d'injection** où une feuille d'alumine de 0.25 mm d'épaisseur arrache les électrons aux ions H⁻, les protons résultants sont piégés dans le champ magnétique du synchrotron et rejoignent le processus d'accélération. L'emploi d'ions H⁻ et d'une injection multi-tours permet d'accroître le courant dans le synchrotron jusqu'à la limite de la charge d'espace. Ainsi les ions H⁻ et les protons existant avant le processus d'injection passent à travers le même champ magnétique dans la feuille d'épluchage mais avec des courbures égales et de sens opposés comme le montre le diagramme ci-dessous.



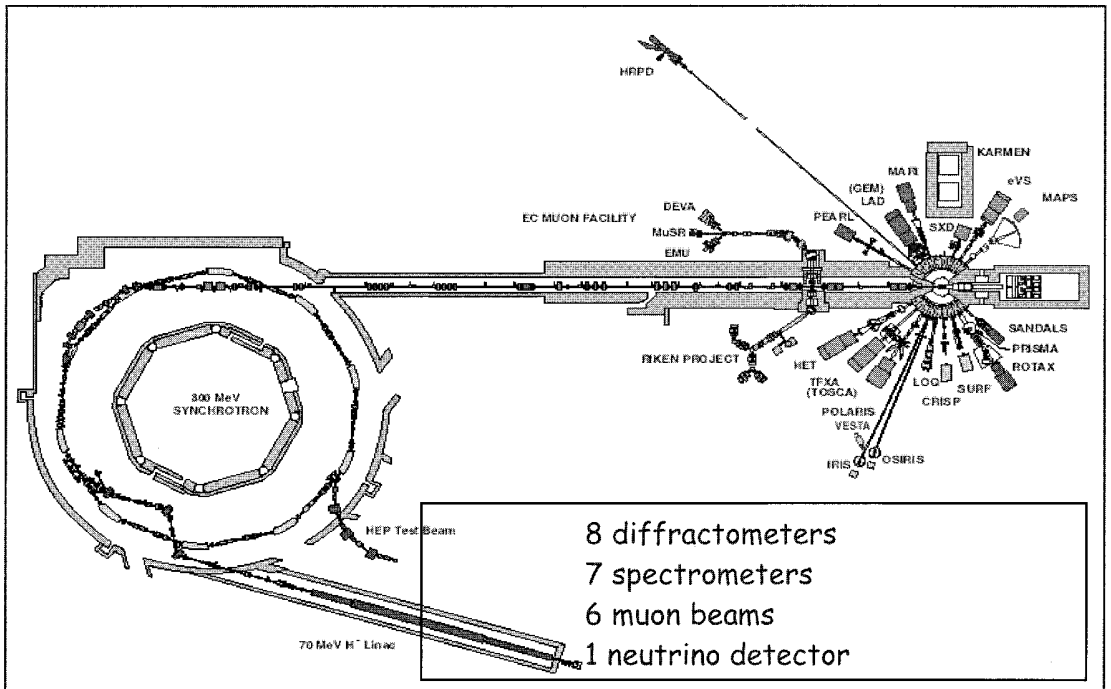
5. **Le synchrotron** a un diamètre de 52 m et a la forme d'un polygone à 10 côtés. Chacun des 10 sommets a en commun des aimants pour focaliser le faisceau de protons et le courber de 36° vers la nouvelle section droite. Chaque section droite a sa propre utilité. La première section est employée pour l'injection, comme nous l'avons décrit. Six sections droites sont utilisées dans un but d'accélération, chacune contient un cavité radio-fréquence à cœur de ferrite qui fournit de l'énergie au faisceau de protons avec la phase appropriée. Tandis que le faisceau gagne de l'énergie on accroît la la fréquence dans les cavités RF pour fournir au faisceau de protons un léger accroissement d'énergie à chaque passage. Les six cavités accélèrent le faisceau jusqu'à 800 MeV étape où les protons circulent en deux paquets en deux côtés opposés du synchrotron. Chaque paquet a une largeur de $90 \mu\text{s}$ et est séparé du second de $210 \mu\text{s}$. Il y a $2.5 \cdot 10^{13}$ protons par impulsion dans le faisceau accéléré ce qui est équivalent à un courant moyen de $200 \mu\text{A}$. Deux lignes droites du synchrotron sont dédiées aux de pompage pour le vide- car l'anneau est soumis à un vide de $5 \cdot 10^{-8}$ mbar- et le segment droit final est

6. **Le segment d'extraction** qui contient un ensemble d'aimants donnant des coups d'accélération rapides. Ceux-ci sont activés à la fin du processus d'accélération et les deux paquets de protons présents dans l'anneau sont extraits simultanément du synchrotron dans

7. **Le guide du faisceau de protons extraits** (EPB pour extracted proton beam). Le paquet de proton est alors guidé par des aimants quadrupolaires vers

8. **La station cible** où il frappe la cible d'uranium appauvri en produisant une bouffée de neutrons rapides par le processus de spallation. La cible est entourée par quatre modérateurs - deux avec de l'eau à température ambiante, un de méthane liquide à 110 K et un avec de la vapeur d'hydrogène supercritique à 25 K- et un réflecteur de béryllium pour concentrer le flux de neutrons dans l'espace des modérateurs. Les neutrons modérés passent à travers des obturateurs et des guides de faisceaux pour atteindre

9. Les instruments de diffusion des neutrons. Il y a 18 sorties de faisceaux sur ISIS, 9 de chaque côté de la station cible. La disposition actuelle des instruments (Août 1996) est présentée dans un diagramme page suivante.



III. 3- Le Réacteur à Haut Flux de l'Institut Laue Langevin

Sur le diagramme on a représenté une vue en projection du réacteur à haut flux de l'ILL à Grenoble et des instruments de neutronique associés. Précédemment dans ce cours on a fait un court exposé sur le cœur du réacteur et le système de refroidissement. Le cœur du réacteur consiste en un seul élément combustible composé d'uranium fortement enrichi en U-235 et d'une masse de ~ 8.57 kg. Le cœur a un diamètre de 40 cm et est contrôlé par une tige de contrôle suivant l'axe. On produit une puissance de 58 MW qui est extraite en pompant de l'eau à travers les 'nageoires' de l'élément combustible. A l'équilibre la température de l'élément combustible est de 50°C . Le cœur est entouré par une cuve réflecteur contenant du D₂O et d'un diamètre de 2.5 m, autour du réflecteur il y a une cuve de H₂O et un écran à radiations en béton. Il y a aussi trois modérateurs spécialement construits pour fournir différents spectres d'énergie de neutrons aux instruments. Il y a un modérateur 'chaud' avec un bloc de graphite à 2500°C et deux modérateurs 'froids', l'un étant un vase sphérique de 25 litres contenant du deutérium liquide.

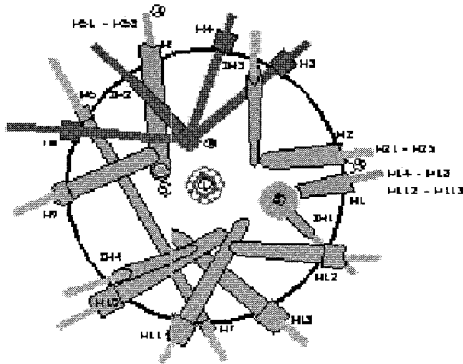
Les guides de faisceaux de neutrons passent à travers l'écran aux radiations biologiques du réacteur situé dans la région du flux thermique maximal dans le réflecteur D₂O autour du cœur du réacteur. Certains des tubes de faisceaux sont radiaux et ainsi voient le cœur lui-même tandis que d'autres sont tangentiels au cœur. Les premiers ont un flux de neutrons plus

intense que les seconds mais avec le désavantage d'un flux gamma plus intense. Il y a trois bouquets de tubes conduisant des neutrons –des guides- ils voient respectivement : le réflecteur ambiant et transmettent un spectre de neutrons thermiques, ou les deux sources froides et transmettent un spectre de faible énergie dit de neutrons froids. Ces guides transmettent les neutrons sans perte significative en intensité jusqu'à des régions éloignées du réacteur où le bruit de fond est faible et de l'espace disponible pour plus que doubler le nombre des instruments qui peuvent être installés près du réacteur

(a)

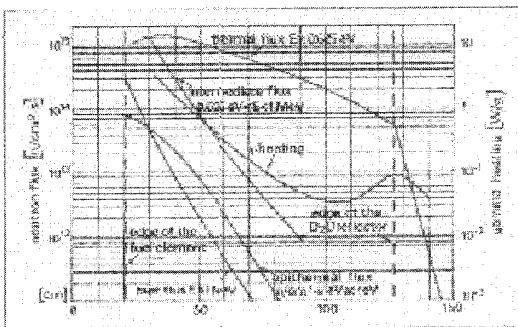
THE HIGH FLUX REACTOR

Power : 58.3 Megawatts
 Operation : 4.5 cycles of 50 days per year
 Availability : 98 - 99%
 Fuel element : 1.5 Kg 93% enriched uranium



- 1 - reactor core
- 2 - hot source
- 3 - cold source
- 4 - neutron guides
- 5 - horizontal cold source
- Cold neutrons
- Thermal neutrons
- Hot neutrons
- H - horizontal tube
- IH - inclined tube

(b)



Le réacteur à haut-flux de l'Institut Laue-Langevin :

- a) disposition des doigts pour l'extraction des neutrons
- b) caractéristiques des flux de particules

Instrumental Facilities at ILL

